

文章编号:1673-9981(2016)01-0010-06

# H<sub>2</sub>气氛对采用 MOCVD 法在 Si 衬底上外延生长 AlN 薄膜性能的影响 \*

杨美娟<sup>1</sup>, 林云昊<sup>1</sup>, 王文樑<sup>1</sup>, 林志霆<sup>1</sup>, 李国强<sup>1,2</sup>

1. 华南理工大学发光材料与器件国家重点实验室, 广东 广州 510640;  
2. 华南理工大学广东省半导体照明与信息化工程技术研究中心, 广东 广州 510640

**摘要:**采用金属有机化合物气相沉积法(MOCVD)在 Si(111)衬底上外延生长 AlN 薄膜, 用高分辨 X 射线衍射、扫描电子显微镜和原子力显微镜对外延生长所得 AlN 薄膜的性能进行表征, 并研究了适量 H<sub>2</sub>的引入对 AlN 薄膜的晶体结构和表面形貌的影响。结果表明: 在 Si 衬底上外延生长 AlN 薄膜过程中引入适量 H<sub>2</sub>, 有利于提高 AlN 岛间愈合程度, 薄膜表面缺陷减少, 表面粗糙度由 4.0 nm 减少至 2.1 nm; 适量 H<sub>2</sub>的引入可使 AlN 薄膜的(0002)和(10-12)面的 X 射线摇摆曲线的半峰宽(FWHM)值从 0.7°及 1.1°分别减小到 0.6°和 0.9°, 即刃型穿透位错密度和螺型穿透位错密度减少。

**关键词:**Si 衬底; AlN 薄膜; H<sub>2</sub>; MOCVD

中图分类号: TN304.2

文献标识码: A

在现存半导体材料中 AlN 具有超过 6 eV 的最宽直接带隙, 且其载流子饱和迁移率、热导率、压电性能及耐高温抗辐射能力, 相比其他很多半导体材料有着不可替代的优势<sup>[1-2]</sup>。因此, AlN 在深紫外探测器、抗辐射器件、大功率器件等领域中有着广阔的应用前景<sup>[3-4]</sup>。目前, 常用于生长 AlN 薄膜的衬底材料有蓝宝石、SiC 和 Si 等。但蓝宝石衬底不导电, 使用范围有限; SiC 衬底价格偏高; Si 衬底相比前两者成本低、尺寸大、导热导电性好及加工方便等诸多优势受到广泛关注。在 Si 衬底上外延生长 AlN 薄膜, 已成为研究界和产业界的焦点<sup>[5-6]</sup>。采用金属有机化合物气相沉积法(MOCVD), 在 Si 衬底上制备 AlN 薄膜是目前主要的研究方向。想要在 Si 衬底上获得高质量的 AlN 薄膜依然存在以下问题<sup>[7-9]</sup>: AlN 与 Si 衬底间存在较大的晶格失配(19.3%), 容易因为较大的失配应力而产生大量位错与裂纹; Al 元素化学性能活泼, 容易与 O 及 C 等杂质元素发生

反应, 难以获得高质量的 AlN 薄膜。研究者已经对 AlN 薄膜的生长速率、反应温度、反应室气压等工艺条件进行了深入地研究, 以提高 AlN 薄膜的质量而获得高性能的器件<sup>[10-12]</sup>。对于反应腔内气氛, 其对 AlN 膜生长至关重要<sup>[13-14]</sup>, 特别是 H<sub>2</sub>载气对 AlN 薄膜性能影响的研究却不多见。

本文采用 MOCVD 技术在 Si(111)衬底上外延生长 AlN 薄膜, 研究了反应腔内通入适量 H<sub>2</sub>载气对 AlN 薄膜晶体结构和表面形貌的影响, 并详细讨论引入适量 H<sub>2</sub>载气的作用机理。这是对高质量 AlN 薄膜生长研究的进一步完善, 为获得高性能 AlN 基器件奠定基础。

## 1 实验部分

用 Veeco 公司研制的 K465i 型 MOCVD 设备外延生长 AlN 薄膜, 以三甲基铝(TMAl)和氨气

收稿日期: 2015-11-11

\* 基金项目: 国家优秀青年科学基金(51422203); 广东省杰出青年科学基金(S2013050013882); 广东省重大科技专项资助项目(2014B010119001)

作者简介: 杨美娟(1992-), 女, 福建省平潭县人, 硕士研究生。

(NH<sub>3</sub>)作为 Al 源和 N 源,材料中不进行任何故意掺杂。在生长前,用酸性溶液(浓度为 98% 的 H<sub>2</sub>SO<sub>4</sub>、浓度为 30% 的 H<sub>2</sub>O<sub>2</sub> 和 H<sub>2</sub>O,其比例为 3:1:1)和浓度为 5% 的 HF,对尺寸为 101.6 mm 的 Si 衬底进行清洗,以除去表面的污染物。衬底放入反应室后,在 H<sub>2</sub>气氛压力为 6666.1 Pa 高压下再次进行衬底清洁。本实验准备了两组样品,样品 A 是只采用 N<sub>2</sub>为载气而得到的 AlN 薄膜,样品 B 是通入适量 H<sub>2</sub>和 N<sub>2</sub>混合气体为载气而得到的 AlN 薄膜。除此之外,两个样品的生长温度均为 1100 ℃,压力为 6666.1 Pa,生长厚度为 110 nm。

用高分辨 X 射线衍射仪(HRXRD,Bruker D8,

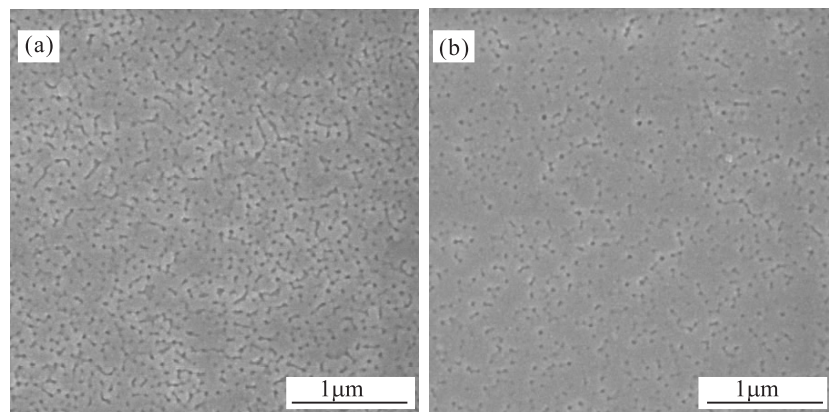


图 1 AlN 薄膜的 SEM 图

样品 A;(b)样品 B

Fig. 1 SEM images for AlN films

(a) sample A;(b) sample B

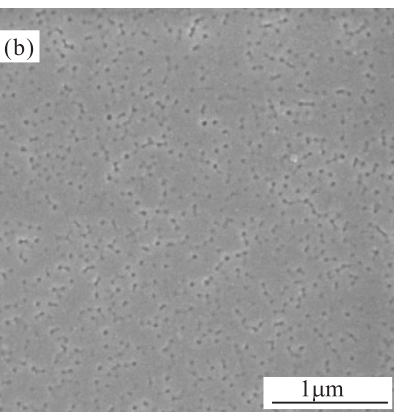
进一步对两个样品进行 AFM 测试,图 2 为样品 A 和 B 的表面三维形貌,扫描面积为 5 μm × 5 μm。从图 2 可见:样品 A 及样品 B 对应的表面粗糙度分别为 4.0 和 2.1 nm;样品 A 表面的岛密度较大且形状尖锐不一,这增加了表面的起伏程度,从而导致表面粗糙度较大;样品 B 中 AlN 岛的纵向生长速度较样品 A 的慢,但 AlN 岛的横向生长速度较快并开始愈合,这说明适量 H<sub>2</sub>的引入促进了 AlN 岛的愈合,加快了 AlN 从 3D 生长模式向 2D 的转变,与 SEM 测试结果相吻合。这是由于 AlN 与 Si 衬底间存在较大的晶格失配(19.3%),且 Al 原子在衬底表面的原子迁移率低,从而导致 AlN 很容易以岛状形式生长<sup>[15]</sup>。在反应腔体内总气压不变的情况下,通入适量 H<sub>2</sub>后降低了 NH<sub>3</sub>的分压,使反应界面附近的气体分子密度有所下降,从而使反应物扩散距

Cu K  $\alpha_1$  X 射线源  $\lambda=1.5406\text{ \AA}$ )、扫描电子显微镜(SEM)、原子力显微镜(AFM)对样品进行测试。

## 2 结果与讨论

### 2.1 通入适量 H<sub>2</sub>对 AlN 薄膜表面形貌的影响

对样品 A 和 B 的表面进行 SEM 表征,结果如图 1 所示。从图 1(a)可见,AlN 薄膜表面存在大量凹坑,尺寸不一,且没有合并的 AlN 孤岛。从图 1(b)可见,AlN 薄膜表面凹坑逐渐愈合,凹坑数量显著减少。表明通入适量 H<sub>2</sub>有利于 AlN 逐渐成膜,并且呈现 2D 层状生长模式。



离较长,缓解了 AlN 的岛状生长并有利于 AlN 岛的横向生长与合并成膜<sup>[16]</sup>。

### 2.2 通入适量 H<sub>2</sub>对 AlN 薄膜结构性能的影响

图 3 为样品的  $2\theta-\omega$  和  $\varphi$  扫描图。从图 3(a)可见:当  $2\theta$  分别为 36.02 和 76.40 °时,对应的是 AlN (0002) 和 AlN (0004) 晶面的衍射峰;当  $2\theta$  分别为 28.40, 58.5 和 94.90 °时,分别对应 Si(111), (222) 和 (333) 晶面衍射峰,此外无其他的衍射峰。这表明,两个样品均具有良好的 c 轴择优取向。对两个样品 (10-12) 晶面进行  $\varphi$  扫描(图 3(b))发现,两个样品均表现出面内六次旋转对称,说明生长的 AlN 薄膜和 Si 衬底具有良好的面内对称关系。因此,结合 X 射线的面外和面内扫描结果可知,本实验外延生长的 AlN 薄膜为单晶薄膜。

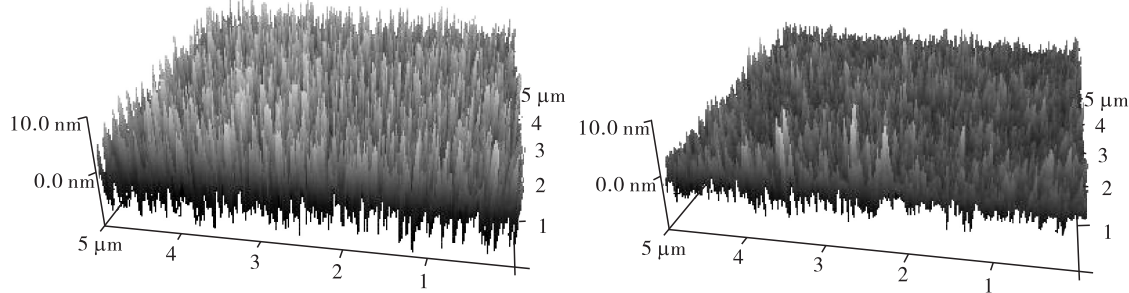
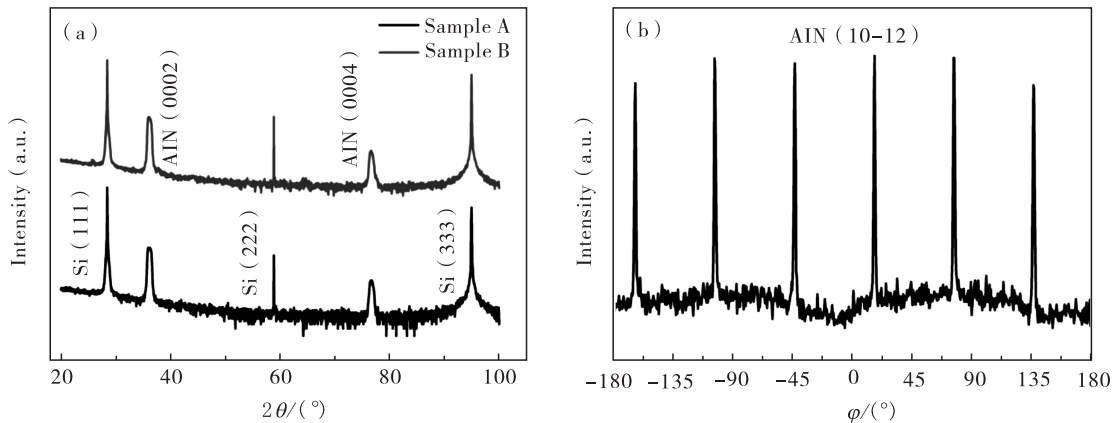


图2 AlN薄膜的表面三维形貌图

(a) 样品 A; (b) 样品 B

Fig. 2 3D images for the surface of AlN films

(a) sample A; (b) sample B

图3 样品 A 和 B 的  $2\theta-\omega$  和  $\varphi$  的扫描图(a)  $2\theta-\omega$  扫描图; (b)  $\varphi$  的扫描图Fig. 3 XRD  $2\theta-\omega$  measurements and XRD  $\varphi$  scans for sample A and sample B(a) XRD  $2\theta-\omega$  measurements; (b) XRD  $\varphi$  scans

为了进一步研究通入适量  $H_2$  后对 AlN 薄膜晶体质量的影响, 对两个样品进行了对称(0002)面和非对称(10-12)面的 X 射线摇摆曲线(RC)扫描。由于(0002)面 RC 扫描对于螺位错的分布密度较敏感,(10-12)面 RC 扫描代表刃位错和混合位错的分布情况, 因此可利用不同晶面的 RC 扫描半峰宽(FWHM)的大小研究薄膜晶体的质量<sup>[17-18]</sup>。RC 扫描 FWHM 值越小, 意味着晶体生长的质量越好。表 1 为样品 A 和样品 B 中 AlN 薄膜的(0002)面和(10-12)面的 RC 扫描 FWHM 值。由表 1 可以看出, 在 Si 衬底上外延 AlN 薄膜过程中引入适量  $H_2$  可使 AlN 薄膜的(0002)和(10-12)面的 RC 曲线的半峰宽值(FWHM)分别从 0.7° 和 1.1° 减小到 0.6° 和 0.9°。通过公式  $D = \beta^2 / 9b^2$ <sup>[19-20]</sup>, 对 AlN 薄膜的刃

型位错和螺型位错分别进行计算, 其中  $D$  代表位错密度,  $\beta$  代表 RC 曲线半峰宽,  $b$  代表位错的伯氏矢量大小。经计算样品 A 的螺位错密度、刃位错和混合位错密度, 分别是样品 B 的 1.17 和 1.22 倍。结果再一次表明, 通入适量  $H_2$  后 AlN 薄膜位错大大减少, 晶体质量得到提高。通入适量  $H_2$  有利于 AlN 岛的横向生长及合并成膜, 穿透位错也在 AlN 横向生长过程中发生弯曲闭合, 使其在继续生长的过程中不能延伸至薄膜表面。同时,  $H_2$  在反应过程中可以与 O 及 C 等杂质元素反应, 有利于减少外延生长中的非故意掺杂, 从而减少点缺陷和位错的形成<sup>[21]</sup>。 $H_2$  相对分子质量小、黏度小、纯度高及携带灵活, 也容易使杂质成分散出。

表 1 AlN 薄膜(0002)和(10-12)面 RC 扫描半峰宽值对照表

Table 1 FWHMs of AlN(0002) and AlN(10-12)

样品编号	FWHM/(°)	
	(0002)面	(10-12)面
A	0.7	1.1
B	0.6	0.9

### 2.3 通入适量 H<sub>2</sub>对 AlN 薄膜界面性能的影响

X 射线小角度反射(GIXR)是一种小角度( $2\theta < 15^\circ$ )的  $\theta/2\theta$  测量方式,探测得到的是 X 射线的强度随入射角的变化曲线,并可运用 X 射线动力学理论对实验测量曲线进行数值模拟,获得有关薄膜厚度、表面与界面特性等方面的信息。X 射线在界面各处发生反射是由于各层介质对 X 射线的折射率不同,故 GIXR 曲线对表面/界面的粗糙度很敏感。如果是粗糙或者扩散的表面/界面会增加散射矢量和角度,表面/界面越粗糙反射强度下降越快,并会影响到曲线的振荡性<sup>[22]</sup>。因此,常用 GIXR 曲线来研究 Si 衬底上外延生长 AlN 薄膜的表面/界面情况<sup>[23-24]</sup>。

在 MOCVD 高温高压的生长条件下,Si 原子容易从衬底中逃逸。一方面,Si 原子会与 N 及 Al 发生化学反应,形成原子排列混乱的粗糙界面层<sup>[25]</sup>;另一方面,Si 原子的逸出造成了衬底与外延层更大的晶格失配,在后续薄膜生长中因失配应力而产生更多位错和裂纹,对薄膜的晶体质量产生不利的影响<sup>[26]</sup>。图 4 为样品 A 与样品 B 的 GIXR 曲线。从图 4 可见:样品 A 的 GIXR 曲线强度下降较快,且低于样品 B 的 GIXR 曲线强度;样品 A 的 GIXR 曲线振

荡性不如样品 B。这表明样品 A 的表面/界面性能较差,粗糙度高于样品 B。

## 3 结 论

对在 Si(111)衬底上采用 MOCVD 技术外延生长 AlN 薄膜,通入适量 H<sub>2</sub>对 AlN 薄膜性能的影响进行了探讨。结果表明,在 Si 衬底上生长 AlN 薄膜过程中,通入适量 H<sub>2</sub>,AlN 薄膜的表面形貌、晶体质量及界面性能均有所改善。适量 H<sub>2</sub>的引入有利于 AlN 岛的横向生长与合并成膜。H<sub>2</sub>能与杂质元素反应并携带其散出,减少外延生长过程中的非故意掺杂。

### 参考文献:

- KONG Susu, WEI Hongyuan, YANG Shaoyan, et al. Morphology and structure controlled growth of one-dimensional AlN nanorod arrays by hydride vapor phase epitaxy[J]. RSC Adv, 2014 (4):54902.
- WANG Wenliang, LIU Zuolian, YANG Weijia, et al. Nitridation effect of the  $\alpha$ -Al<sub>2</sub>O<sub>3</sub> substrates on the quality of the GaN films grown by pulsed laser deposition[J]. RSC Adv, 2014(4):39651.
- MOHD YUSOFF M Z, MAHYUDDIN A, HASSAN Z, et al. AlN/GaN/AlN heterostructures grown on Si substrate by plasma-assisted MBE for MSM UV photodetector applications [J]. Materials Science in Semiconductor Processing, 2015, 29:231.
- ZHOU J, DEMIGUEL-RAMOS M, GARCIA-GANCEDO L, et al. Characterisation of aluminium nitride films and surface acoustic wave devices for microfluidic applications[J]. Sensors and Actuators B: Chemical, 2014, 202:984.
- LIN Kungliang, CHANG E Y, HSIAO Y L, et al. Growth of GaN film on 150mm Si (111) using multilayer AlN/AlGaN buffer by metal-organic vapor phase epitaxy method [J]. Appl Phys Lett, 2007, 91:222111.
- LIN Yunhao, ZHOU Shizhong, WANG Wenliang, et al. Performance improvement of GaN-based light-emitting diodes grown on Si(111) substrates by controlling the reactor pressure for the GaN nucleation layer growth [J]. Journal of Materials Chemistry C, 2015(3): 1484.
- BOURRET A, BARSKI A, ROUVIÈRE J L, et al.

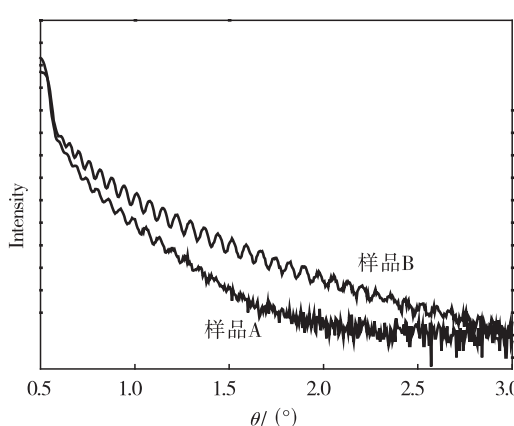


图 4 AlN 薄膜的 GIXR 曲线

Fig. 4 Typical GIXR spectrum for AlN films

- Growth of aluminum nitride on Si (111): Microstructure and interface structure [J]. *J Appl Phys*, 1998, 83, 2003.
- [8] LI Xiaohang, WANG Shuo, XIE Hongen, et al. Growth of high-quality AlN layers on sapphire substrates at relatively low temperatures by metalorganic chemical vapor deposition [J]. *Phys Status Solidi: B*, 2015, 252: 1089.
- [9] SIGNORE M A, TAURINO A, VALERINI D, et al. Role of oxygen contaminant on the physical properties of sputtered AlN thin films[J]. *J Alloy Compds*, 2015, 649: 1267.
- [10] MATSUMOTO K, TACHIBANA A. Growth mechanism of atmospheric pressure MOVPE of GaN and its alloys: gas phase chemistry and its impact on reactor design[J]. *J Crystal Growth*, 2004, 272: 360.
- [11] MENG Jianping, LIU Xiaopeng, FU Zhiqiang, et al. Thermal stability of AlN films prepared by ion beam assisted deposition[J]. *Appl Surf Sci*, 2015, 347: 109.
- [12] TOMOAKI F, KAZUMA S, REMI O, et al. Fabrication and Characterization of AlN/InN Heterostructures [J]. *Appl Phys Express*, 2009(2): 011002.
- [13] BAO Q, ZHU T, ZHOU N, et al. Effect of hydrogen carrier gas on AlN and AlGaN growth in AMEC prismo D-blue ® MOCVD platform [J]. *J Crystal Growth*, 2015, 419: 52.
- [14] JUMPEI T, CHIKASHI E, RIE T, et al. Carrier gas dependence at initial processes for  $\alpha$ -plane aln growth on  $\gamma$ -plane sapphire substrates by hydride vapor phase epitaxy[J]. *Jap J Appl Phys*, 2011, 50: 055501.
- [15] SHELDON B W, RAJAMANI A, BHANDARI A, et al. Competition between tensile and compressive stress mechanisms during volmer-weber growth of aluminum nitride films [J]. *J Appl Phys*, 2005, 98: 043509.
- [16] WANG H X, AMIJIMA Y, ISHIHAMA Y, et al. Influence of carrier gas on the morphology and structure of GaN layers grown on sapphire substrate by six-wafer metal organic chemical vapor deposition system[J]. *J Crystal Growth*, 2001, 233: 681.
- [17] HEINKE H, KIRCHNER V, EINFELDT S, et al. X-ray diffraction analysis of the defect structure in epitaxial GaN[J]. *Appl Phys Lett*, 2000, 77: 2145.
- [18] WANG Wenliang, YANG Weijia, WANG Haiyan, et al. Epitaxial growth of GaN films on unconventional oxide substrates[J]. *Journal of Materials Chemistry C*, 2014 (2): 9342.
- [19] LUO Weike, LI Liang, LI Zhonghui, et al. Influence of the nucleation layer annealing atmosphere on the resistivity of GaN grown by metalorganic chemical vapor deposition[J]. *J Alloys Compds*, 2015, 633: 494.
- [20] WANG Wenliang, YANG Hui, LI Guoqiang. Growth and characterization of GaN-based LED wafers on  $\text{La}_{0.3}\text{Sr}_{1.7}\text{AlTaO}_6$  substrates[J]. *Journal of Materials Chemistry C*, 2013(1): 4070.
- [21] AMBACHER O, ANGERER H, DIMITROV R, et al. Hydrogen in gallium nitride grown by MOCVD[J]. *Phys Status Solidi: A*, 1997, 159: 105.
- [22] MORAM M A, VICKERS M E. X-ray diffraction of III-nitrides[J]. *Rep Prog Phys*, 2009, 72: 036502.
- [23] LI Guoqiang, WANG Wenliang, YANG Weijia, et al. Epitaxial growth of group III-nitride films by pulsed laser deposition and their use in the development of LED devices[J]. *Rep Prog Phys*, 2015, 70: 380.
- [24] WANG Wenliang, YANG Weijia, LIU Zuolian, et al. Interfacial reaction control and its mechanism of AlN epitaxial films grown on Si (III) substrates by pulsed laser deposition[J]. *Sci Rep*, 2015(5): 11480.
- [25] WANG Yuanzhang, LI Jinchai, LI Shuping, et al. X-ray reflectivity and atomic force microscopy studies of MOCVD grown  $\text{Al}_x\text{Ga}_{1-x}\text{N}/\text{GaN}$  superlattice structures [J]. *J Semicon*, 2011, 32: 043006.
- [26] LOSURDO M, CAPEZZUTO P, BRUNO G, et al. Interfacial reactions during GaN and AlN epitaxy on 4H-6H-SiC (0001) [J]. *Appl Phys Lett*, 2005, 86: 021920.

## Effect of hydrogen atmosphere on the properties of AlN films epitaxially grown on Si substrate by MOCVD

YANG Meijuan<sup>1</sup>, LIN Yunhao<sup>1</sup>, WANG Wenliang<sup>1</sup>, LIN Zhiting<sup>1</sup>, LI Guoqiang<sup>1,2</sup>

1. State Key Laboratory of Luminescent Materials and Devices, South China University of Technology, Guangzhou 510640, China; 2. Engineering Research Center on Solid-State Lighting and its Informationisation of Guangdong Province, South China University of Technology, Guangzhou 510640, China

**Abstract:** AlN epitaxial films were grown on Si(111) substrates by metal-organic chemical vapor deposition (MOCVD). The surface morphology, crystalline quality, and interfacial property of as-grown AlN films have been investigated systematically, and the effect of hydrogen atmosphere on the properties of AlN films were studied in detail. The results reveal that the root-mean-square (RMS) roughness of ~110 nm-thick AlN films is greatly reduced from 4.0 nm to 2.1 nm, and the full-width at half-maximum (FWHM) value of X-ray rocking curve of AlN(10-12) is dramatically decreased from 1.1 ° to 0.9 ° by introducing a certain amount of hydrogen when compared with that grown without hydrogen.

**Key words:** Si substrates; AlN films; hydrogen; MOCVD.